

LANCÉ

Servicio Clima Espacial

Reporte Semanal

<http://www.sciesmex.unam.mx>



AEM
AGENCIA ESPACIAL MEXICANA



CENAPRED
CENTRO NACIONAL DE
PREVENCIÓN DE DESASTRES

Reporte semanal: del 04 al 10 de marzo de 2022

CONDICIONES DEL SOL

Regiones activas: 9.

Fulguraciones solares de clase M o X: 0.

Eyecciones de masa coronal en aparente dirección hacia la Tierra: 0.

CONDICIONES DEL MEDIO INTERPLANETARIO

Se registró una región de interacción.

CONDICIONES DE MAGNETÓSFERA

Se registró una tormenta geomagnética moderada.

CONDICIONES DE LA IONOSFERA

Se registraron valores aumentados del TEC durante las horas diurnas.

CONDICIONES DE RAYOS CÓSMICOS

No se registraron eventos esta semana.

Reporte semanal: del 04 al 10 de marzo de 2022

PRONÓSTICOS*

Viento solar:

Se pronostica el arribo de corrientes del viento solar con velocidades de aproximadamente 300 km/s para los próximos días. No se pronostica el arribo de ninguna EMC.

Fulguraciones solares:

Probabilidad moderada de fulguraciones intensas (clase X).

Tormentas geomagnéticas:

Baja probabilidad de perturbaciones geomagnéticas severas.

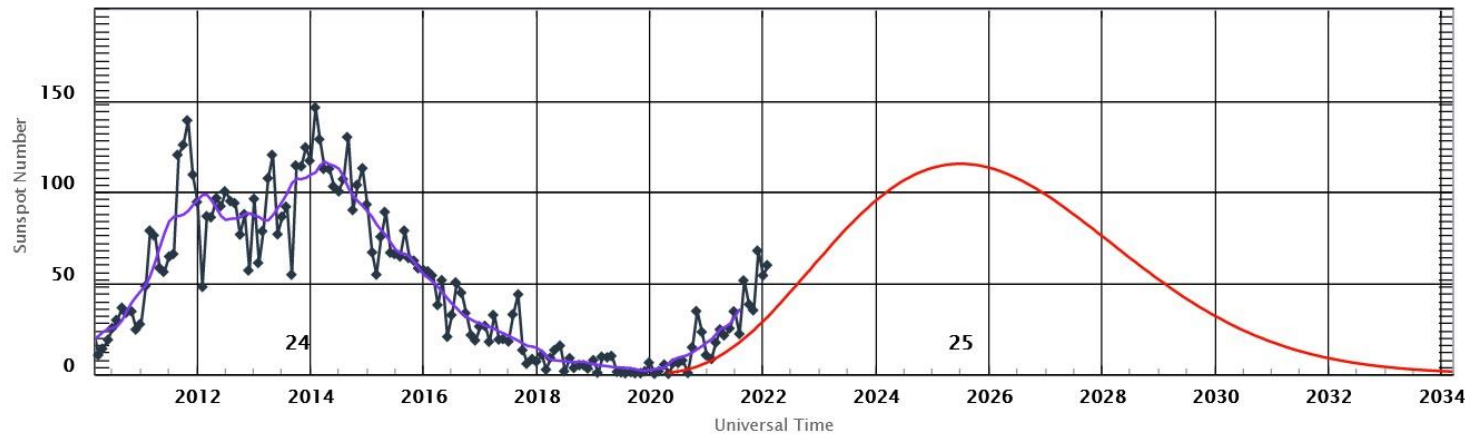
Tormentas ionosféricas:

Baja probabilidad de perturbaciones ionosféricas severas.

*NOTA: Perturbaciones de Clima Espacial pueden ser provocadas por eventos solares rápidos los cuales no se pueden pronosticar definitivamente con una anticipación de varios días.

Ciclo de manchas solares y la actividad solar

ISES Solar Cycle Sunspot Number Progression



La figura muestra el conteo del número de manchas solares desde enero del 2009.

Entre más manchas solares presente el Sol, es mayor la posibilidad de que ocurra una tormenta solar.

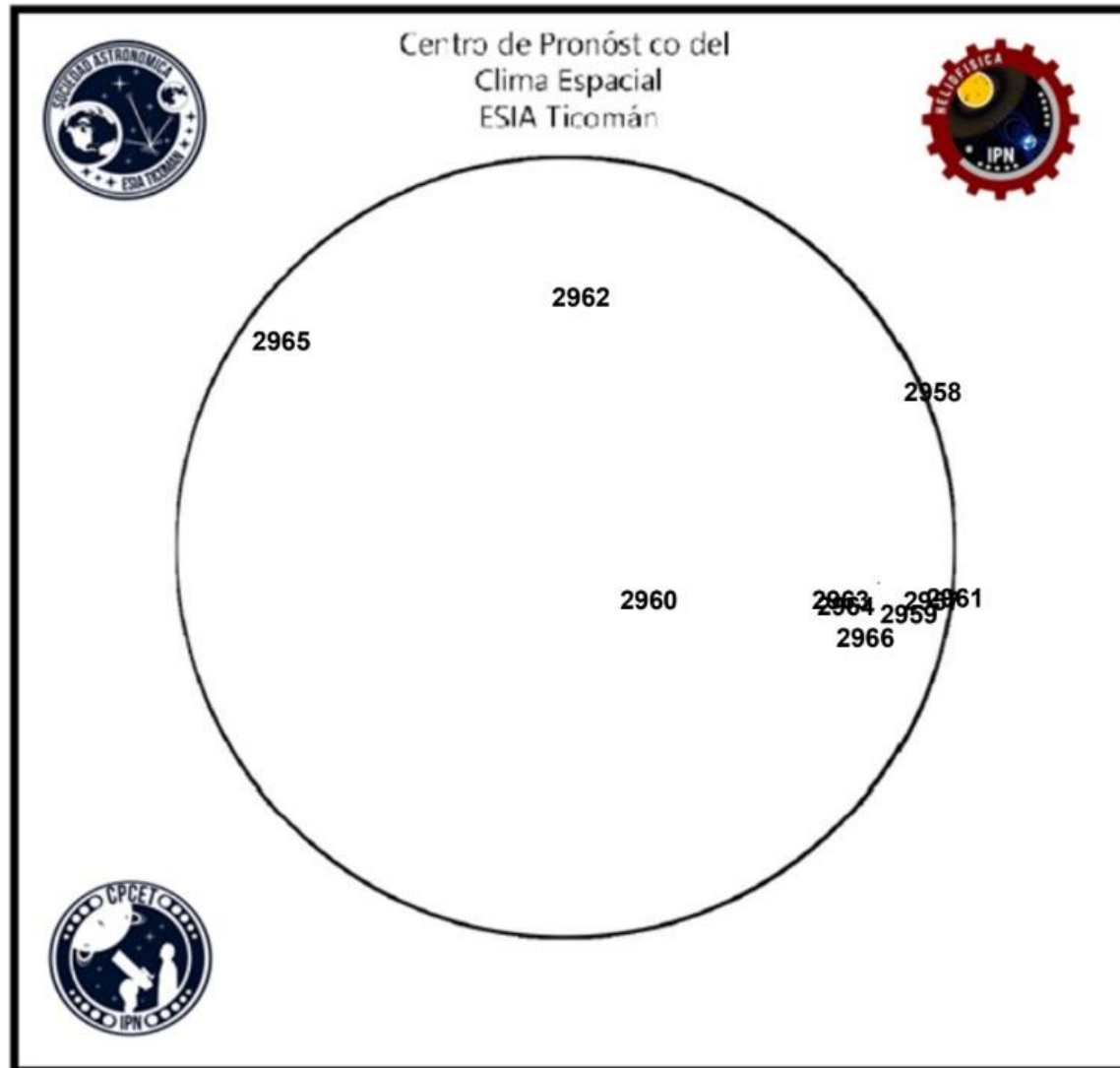
Imagen: www.swpc.noaa.gov/products/solar-cycle-progression

Estamos en el inicio del ciclo solar 25. Es una época de actividad solar creciente.

Número de Wolf

LANCE

Laboratorio Nacional
de Clima Espacial



El número de Wolf es un valor que permite evaluar numéricamente la actividad solar mediante el conteo de manchas solares ubicadas sobre la superficie del Sol. Este se calcula a partir de la fórmula desarrollada por Rudolf Wolf en 1849:

$$W=k(10*G+F)$$

Donde:

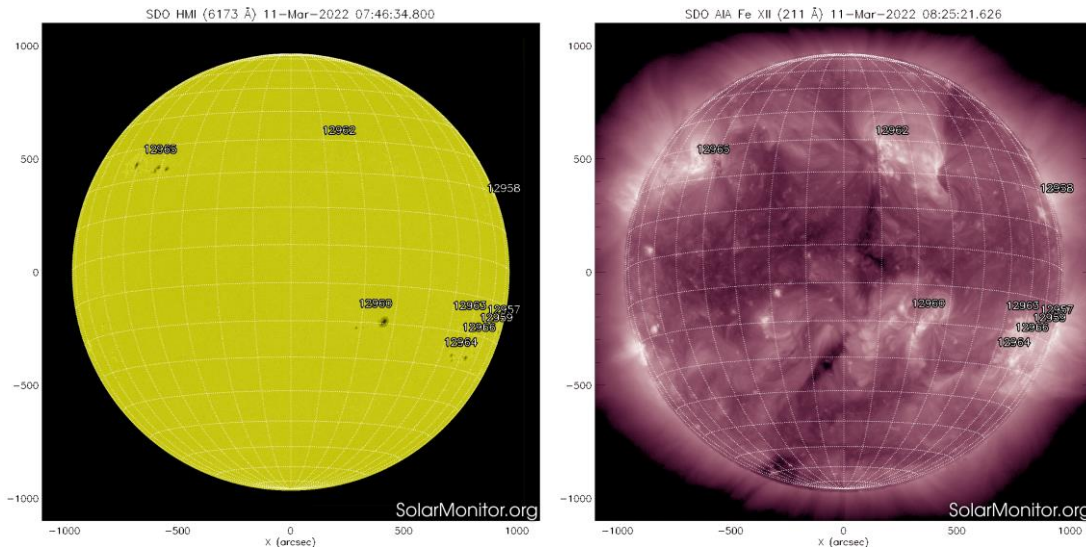
K= Es un factor de corrección que depende de cada observatorio.

F= Cantidad total de manchas solares visibles sobre el disco solar.

G= Cantidad de grupos manchas solares visibles sobre el disco solar.

Número de Wolf máximo esta semana: **131**

Durante esta semana se pudieron observar diez regiones activas en la superficie del Sol. Estas fueron la 2957, 2958, 2959, 2960, 2961, 2962, 2963, 2964, 2965 y 2966. Con coordenadas S16W73, N17W76, S19W66, S20W12, S13W88, N27W02, S18W46, S19W48, N23E53 y S23W55 respectivamente.



Imágenes: <https://solarmonitor.org>

Las imágenes más recientes disponibles del satélite artificial SDO muestran 9 regiones activas y tres hoyos coronales (uno cerca del ecuador en el disco solar, uno en el hemisferio sur y uno a la izquierda del polo).

El Sol, visto en distintas longitudes de onda que muestran las diferentes capas solares.

A la izquierda: La fotosfera es la zona “superficial” del Sol, donde aparecen las manchas solares. Regiones oscuras formadas por material más frío que sus alrededores y que contienen intensos campos magnéticos. Las manchas solares están relacionadas con la actividad solar.

A la derecha: El Sol en rayos X suaves (211 Å). La emisión de Fe XIV revela la estructura magnética en la alta corona que se encuentra a 2,000,000 K. Los hoyos coronales (regiones oscuras) son regiones de campo magnético solar localmente abierto. Son fuente de las corrientes de viento solar rápido.

Actividad solar: Fulguraciones solares

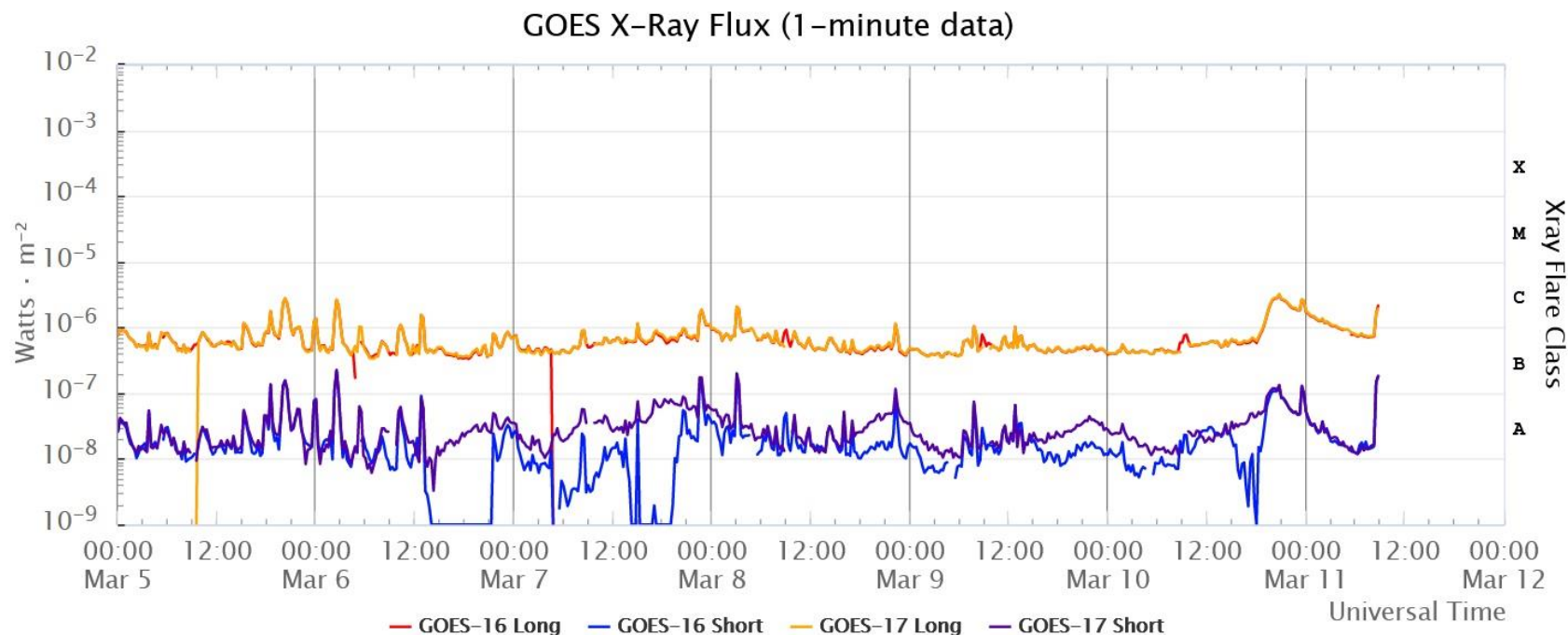


Imagen: www.swpc.noaa.gov/products/goes-x-ray-flux

Flujo de rayos X solares detectado por los satélites GOES. La imagen muestra los datos tomados durante los últimos días.

La semana pasada (del 04 a 10 de marzo) se observaron múltiples fulguraciones de clase C. Estas fulguraciones no son significativas.

Medio interplanetario: El viento solar cercano a la Tierra

Modelo numérico WSA-ENLIL.

Al día de hoy 10 de marzo de 2022, el modelo pronostica el arribo de corrientes de viento solar lento con velocidades de aproximadamente 300 km/s para los días siguientes. No pronostica el arribo de ninguna EMC para los próximos días.

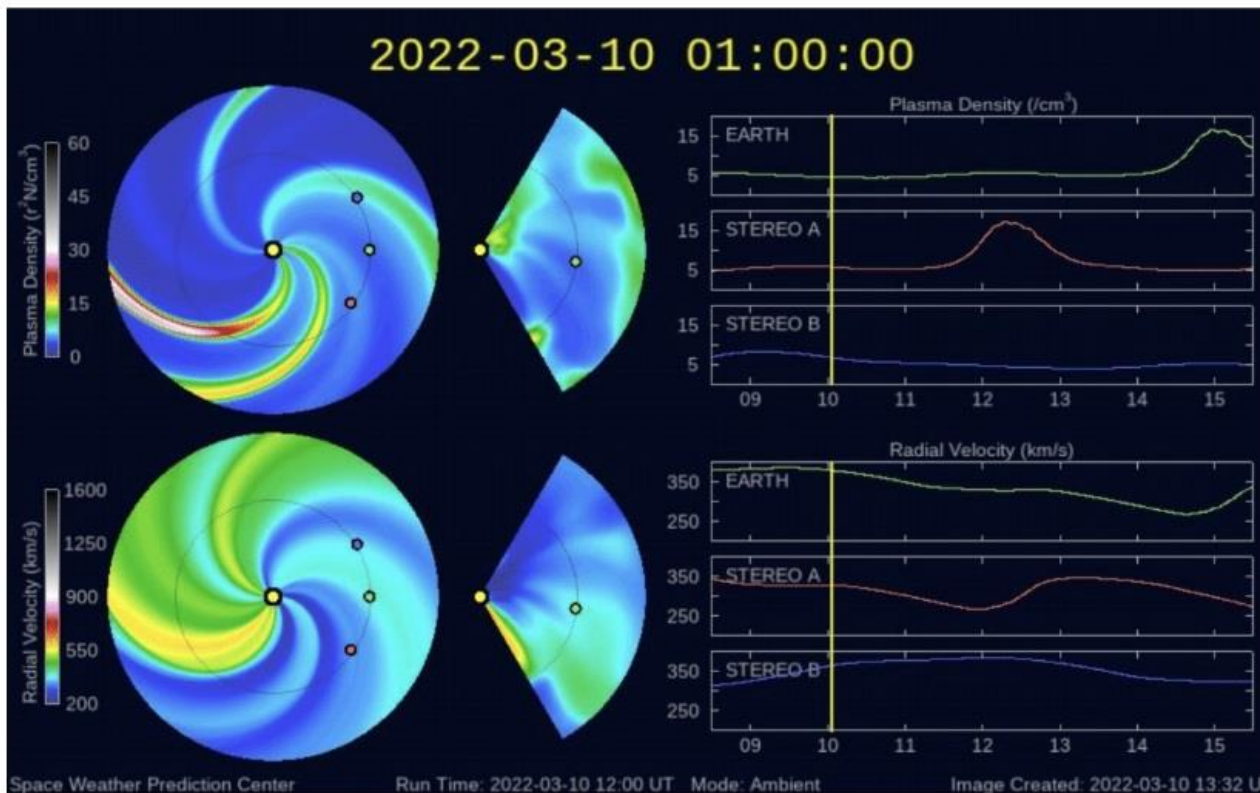


Imagen: <http://www.swpc.noaa.gov/products/wsa-enlil-solar-wind-prediction>

Actividad solar: Eyecciones de Masa Coronal

Se registraron 25 EMC.
0 tipo halo.

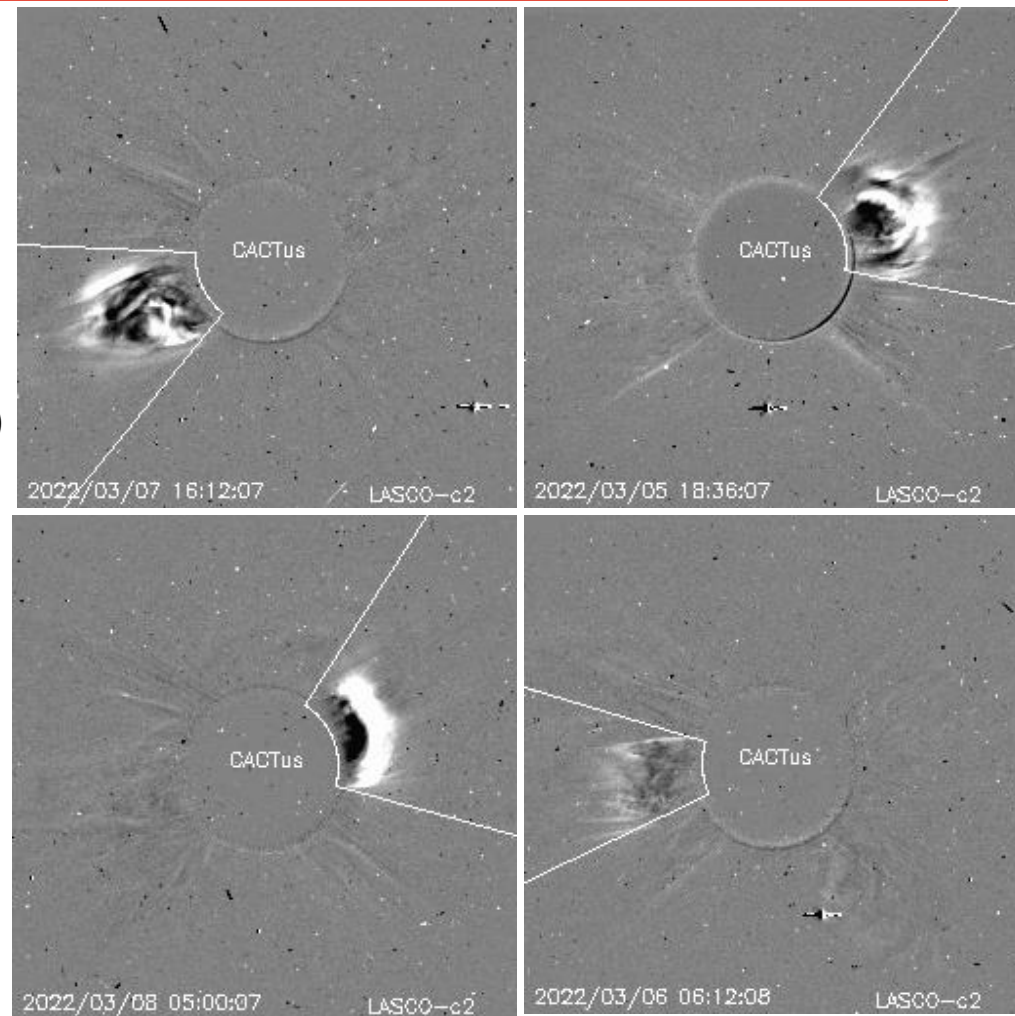
Mediciones de salida de EMC de mayor
dimensión o velocidad de esta semana:

Fecha, tiempo inicial, velocidad promedio (km/s)

2022/03/05	17:24	356
2022/03/06	04:36	211
2022/03/07	14:12	285
2022/03/08	04:24	422

-Eyecciones observadas por SOHO/LASCO con
cálculos del sitio CACTUS.

Crédito de imágenes y valores estimados:
SOHO, the SOLAR & Heliospheric Observatory
<https://wwwbis.sidc.be/cactus/>



Medio interplanetario: Región de interacción de viento solar

Esta semana se registró una región de interacción entre corrientes (RIC) (ver área sombreada en gris en imagen 2). El origen del viento solar rápido que generó a la RIC es un hoyo coronal localizado en latitudes bajas (CH1 en imagen 1). Dicha RIC generó actividad geomagnética: $K_p=5$ y $Dst=-48$ nT. Actualmente, se encuentra en curso el flanco de una eyección de masa coronal (área sombreada en amarillo en imagen 2) la cual puede generar actividad geomagnética en los próximos días.

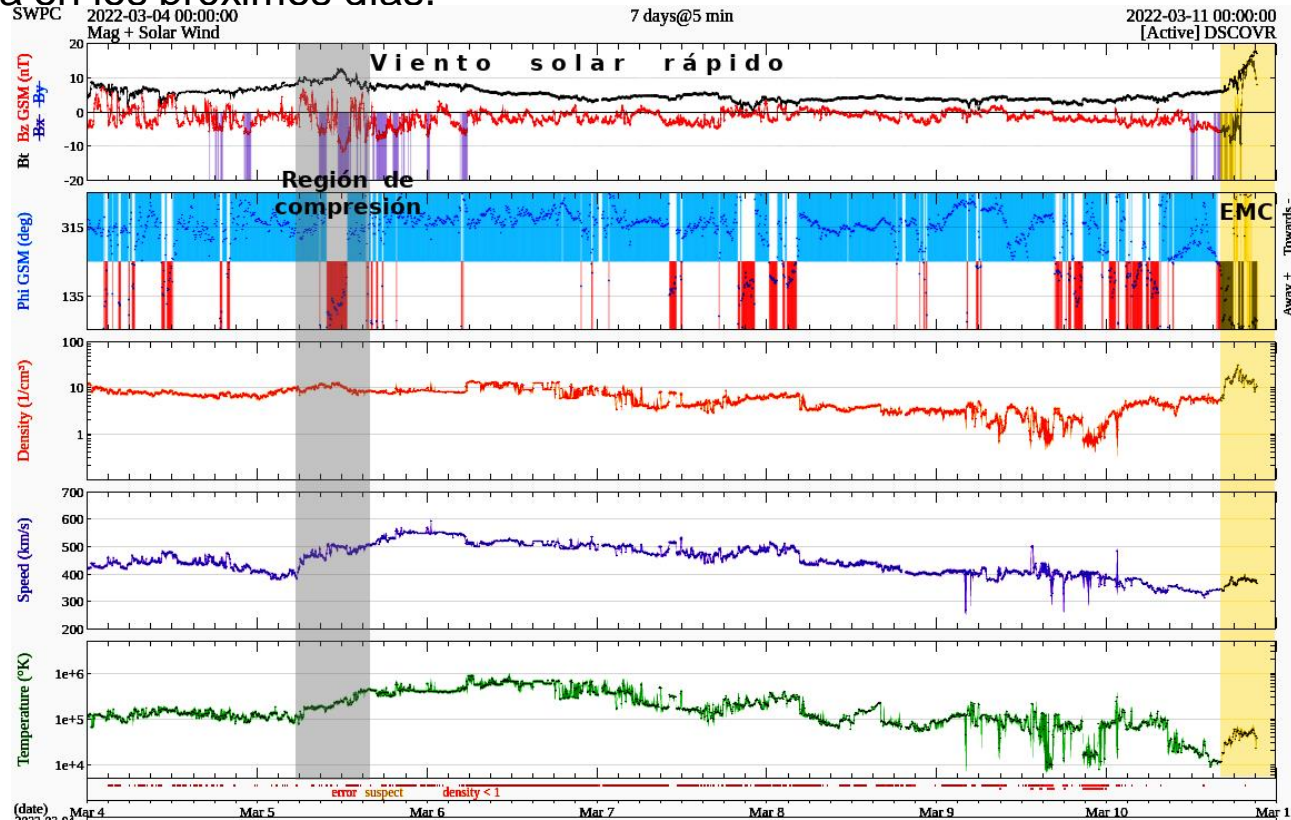
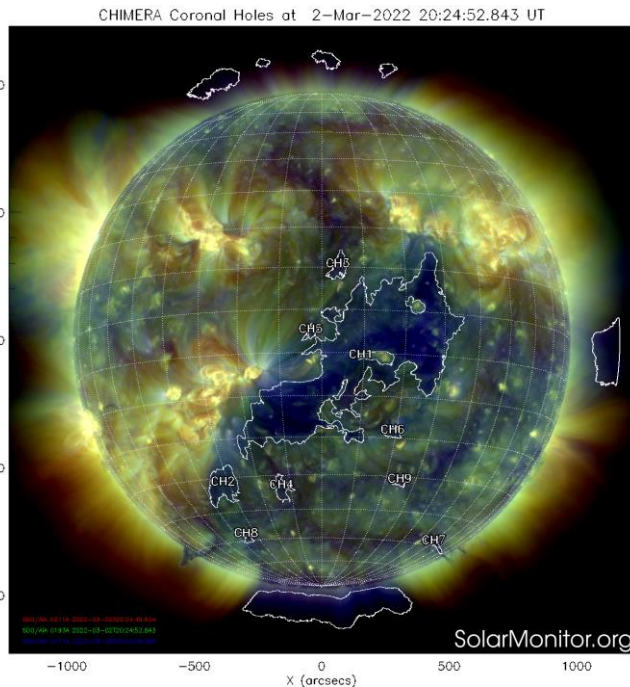


Imagen 1: <https://solarmonitor.org/chimera.php>

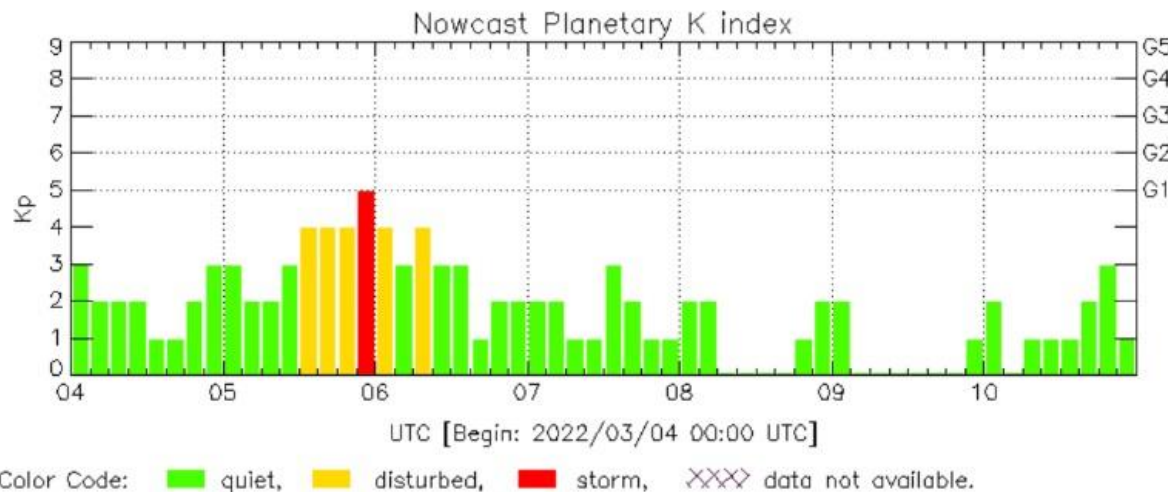
Imagen 2: <http://www.swpc.noaa.gov/products/real-time-solar-wind>

Perturbaciones geomagnéticas: Índices geomagnéticos Kp y Kmex

Se registró una tormenta geomagnética durante la semana. Esta se debió a la llegada a la Tierra de una región de compresión en el viento solar.

Datps: www.gfz-potsdam.de/en/kp-index/

NOTA: El cálculo del índice Kmex se realiza por la estación geomagnética de Coeneo, Mich. Los datos son experimentales y no se deben de tomar como definitivos.



El índice K indica la intensidad de las variaciones del campo magnético terrestre en intervalos de 3 horas.

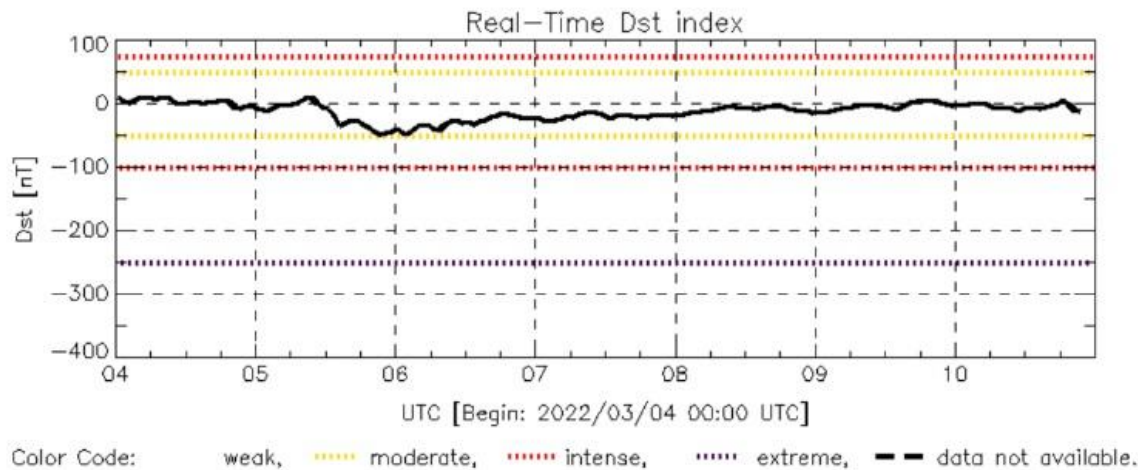
El índice Kp lo expresa a escala planetaria, mientras que el Kmex lo hace para el territorio mexicano.

Perturbaciones geomagnéticas: Índice Dst y ΔH

Se registró una perturbación geomagnética moderada durante la semana. Esta fue provocada por una región de compresión en el viento solar que atravesó la órbita de la Tierra.

Datos: wdc.kugi.kyoto-u.ac.jp/dst_realtime/

NOTA: El cálculo del índice ΔH se realiza por la estación geomagnética de Coeneo, Mich. Los datos son experimentales y no se deben de tomar como definitivos.



Dst: by World Data Center for Geomagnetism, Kyoto
http://wdc.kugi.kyoto-u.ac.jp/dst_realtime/

Updated: 2022/03/10-21:59 UTC

Los índices Dst y ΔH miden las variaciones temporales de la componente horizontal del campo geomagnético, el primero a escala planetaria y el segundo para México.

Estas variaciones, en general, se deben al ingreso de partículas cargadas, provenientes del espacio exterior, al ambiente espacial terrestre.

Ionósfera sobre México: TEC en el centro del país

LANCE

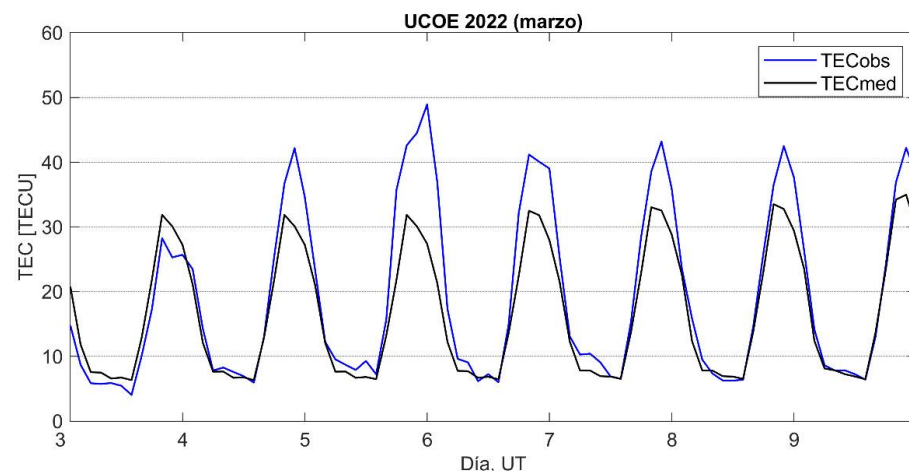
Servicio Clima Espacial

El contenido total de electrones (TEC) es un parámetro que sirve para caracterizar el estado de la ionosfera de la Tierra.

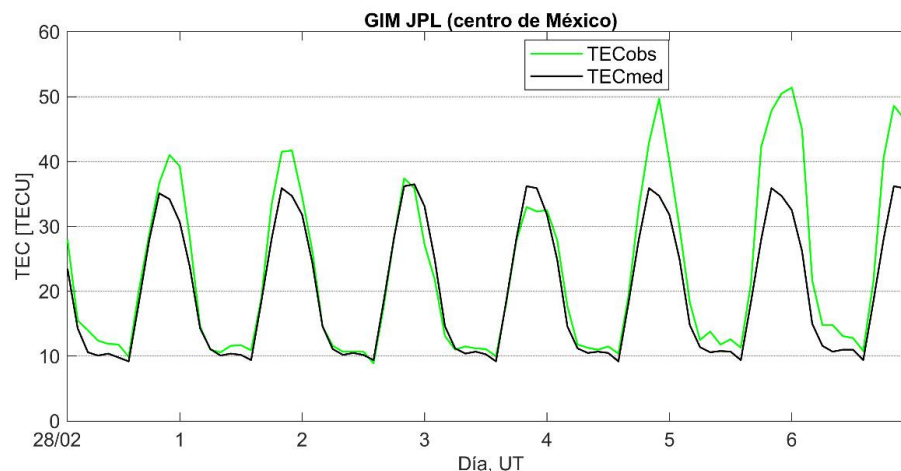
Series temporales de los valores de TEC (TECobs) con referencia a su valor mediano (TECmed) obtenidas de:

(1) datos de la estación local UCOE (TLALOCNet, UNAVCO) ubicada en las instalaciones del MEXART

El cálculo se realiza en base del software "TayAbsTEC" del Instituto de Física Solar-Terrestre, SB RAS. Referencia: Yasyukevich et al., 2015, doi: 10.1134/S001679321506016X.



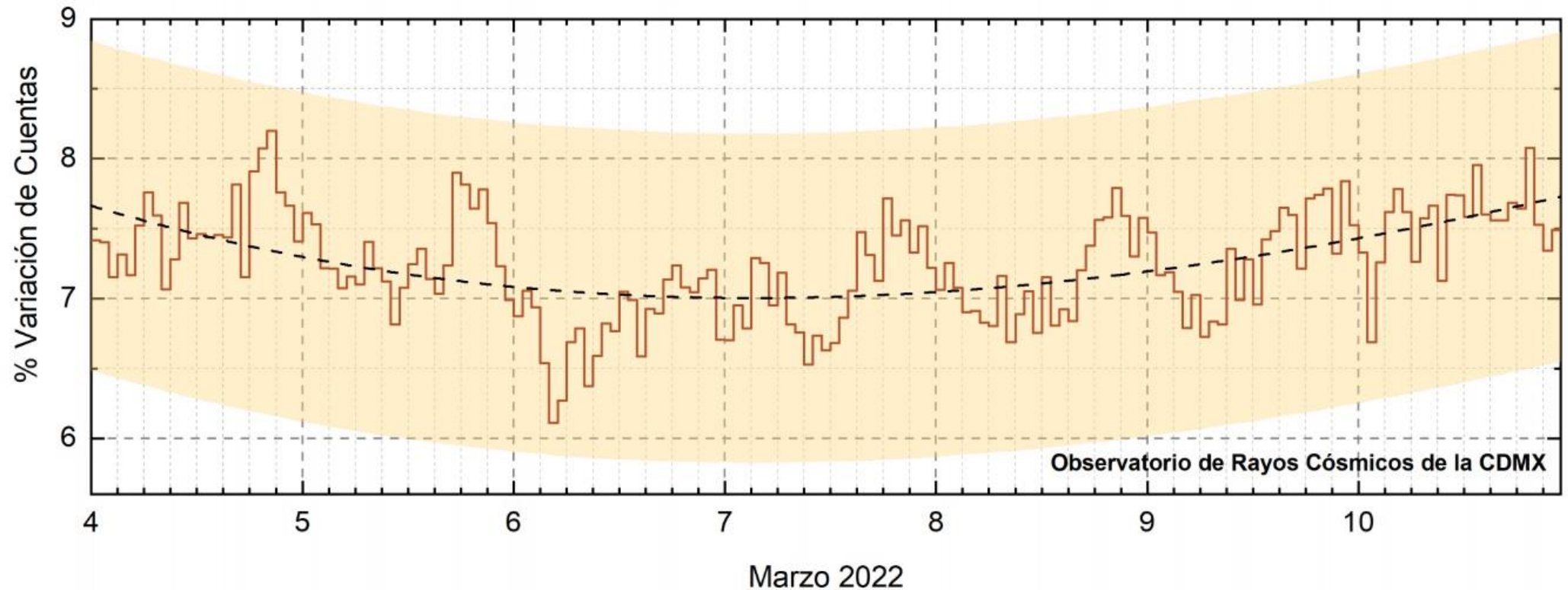
(2) mapas ionosféricos globales (GIM JPL)



Según los datos locales, la mayor parte de la semana se observaron valores aumentados del TEC durante las horas diurnas. Los datos globales disponibles confirman esta tendencia.



Rayos Cósmicos:



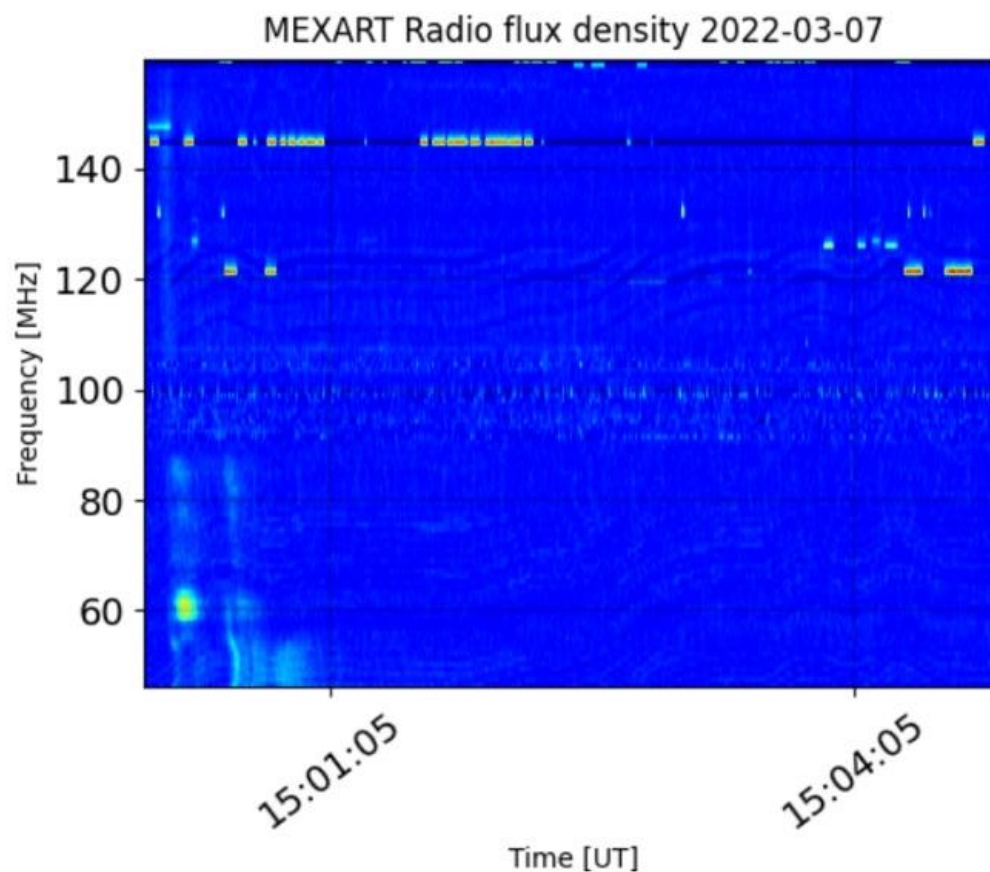
<http://www.cosmicrays.unam.mx/>

Datos registrados por el Observatorio de Rayos Cósmicos de la Ciudad de México. La curva discontinua negra representa el promedio de los datos registrados, el área coloreada en amarillo representa la significación de los datos ($\pm 3\sigma$). Cuando se registran variaciones que salen del área, es probable que éstas sean atribuidas a efectos de emisiones solares en el flujo de rayos cósmicos.

Del 4 al 10 de marzo de 2022, no se detectaron variaciones significativas ($\pm 3\sigma$) en las cuentas de rayos cósmicos.

Estallidos de radio solares: Observaciones de Callisto-MEXART

Callisto-MEXART detectó un estallido de radio tipo 3 el 7 de Marzo a las 15 hrs en tiempo universal.



<http://www.rice.unam.mx/callisto/>

UNAM/LANCE/SCIESMEX

Dr. J. Américo González Esparza
Dr. Pedro Corona Romero
Dra. Maria Sergeeva
Dr. Julio C. Mejía Ambriz
Dr. Luis Xavier González Méndez
Dr. José Juan González Avilés
Ing. Ernesto Andrade Mascote
M.C. Pablo Villanueva Hernández
Ing. Adan Espinosa Jiménez
Ing. Juan Luis Godoy Hernández
Dr. Ernesto Aguilar-Rodríguez
Dra. Verónica Ontiveros
Dra. Tania Oyuki Chang Martínez
Dr. Víctor José Gatica Acevedo
M.C. Angela Melgarejo Morales
Isaac David Orrala Legorreta

UNAM ENES-Morelia

Dr. Mario Rodríguez Martínez
M.C. Raúl Gutiérrez Zalapa
Rafael Zavala Molina

UNAM/PCT

Lic. Elizandro Huipe Domratcheva
M.C. Elsa Sánchez García
M.C. Carlos Arturo Pérez Alanis

UANL/LANCE

Dr. Eduardo Pérez Tijerina
Dr. Enrique Pérez León
Dr. Carlos de Meneses Junior
Dra. Esmeralda Romero Hernández

Elaboración: Maria Sergeeva

Revisión: Ernesto Aguilar Rodríguez

UNAM/IGF/RAYOS CÓSMICOS

Dr. José Francisco Valdés Galicia
Fis. Alejandro Hurtado Pizano
Ing. Octavio Musalem Clemente

SERVICIO MAGNÉTICO

M.C. Esteban Hernández Quintero
M.C. Gerardo Cifuentes Nava
Dra. Ana Caccavari Garza

CPCET/SAET-IPN

Ing. Julio C. Villagrán Orihuela
Miguel Daniel González Arias
Carlos Escamilla León
Jessica Juárez Velarde
Pablo Romero Minchaca
Eric Bañuelos Gordillo
Alfonso Iván Verduzco Torres
Alain Mirón Velázquez
Christian Armando Ayala López
Katia Lisset Ibarra Sánchez
Ángel A. Valdovinos Córdoba

Agradecimientos

El Laboratorio Nacional de Clima Espacial (LANCE) es parcialmente financiado por: el programa Cátedras CONACYT Proyecto 1045 y el Fondo Sectorial AEM-CONACYT proyecto 2014-01-247722. Agradecemos al proyecto Conacyt – Repositorio Institucional de Clima Espacial 268273. Agradecemos al proyecto AEM-2018-01-A3-S-63804 del Fondo Sectorial CONACYT-AEM. Agradecemos a todos los responsables y colaboradores de instrumentos del LANCE y a las redes de estaciones GPS del Servicio Sismológico Nacional y TlalocNET por facilitar sus datos. Agradecemos a Gerardo Cifuentes, Esteban Hernández y Ana Caccavari por los datos del Observatorio Magnético de Teoloyucan. De igual forma, agradecemos los servicios de IGS (International GNSS Service) por permitirnos usar los datos IONEX disponibles en: <https://cddis.nasa.gov/archive/gnss/products/ionex>. Los valores de TEC fueron obtenidos a partir de observaciones de las redes GPS del Servicio Sismológico Nacional (SSN), SSN-TLALOCNet y TLALOCNet del Servicio de Geodesia Satelital (SGS). Agradecemos al personal del SSN y del SGS por el mantenimiento de estaciones, la adquisición de datos y el soporte de IT de estas redes. Las operaciones de la red TLALOCNet y SSN-TLALOCNet GPS han sido apoyadas por The National Science Foundation bajo el proyecto EAR-1338091 a UNAVCO Inc., los proyectos CONACyT 253760 y 256012 y los proyectos UNAM-PAPIIT IN109315-3 y IN104818-3 de E. Cabral-Cano y el proyecto UNAM-PAPIIT IN111509 de R. Pérez. De igual forma, agradecemos a los proyectos de infraestructura del CONACyT: 253691 y del PAPIIT-DGAPA: IA107116 para el fortalecimiento de equipos como la estación fija de GPS, que forman parte del LACIGE-UNAM, de la ENES unidad Morelia a cargo de M. Rodríguez-Martínez, El cálculo de TEC se realiza: 1) utilizando el software US-TEC que es un producto de operación del Space Weather Prediction Center (SWPC), desarrollado a través de una colaboración entre National Geodetic Survey, National Oceanic and Atmospheric Administration (NOAA) y el Cooperative Institute for Research in Environmental Sciences of the University of Boulder, Colorado, 2) con base en el software TayAbsTEC del Instituto de Física Solar-Terrestre, sección Siberiana de la Academia de Ciencias Rusa. Parte del procesamiento de datos se lleva a cabo dentro del centro de Supercómputo de Clima Espacial (CESCOM) del LANCE. Así mismo agradecemos al Space Weather Forecasting Center for Astrophysics & Space Research de la University of California in San Diego y al Korean Space Weather Center por los datos de pronóstico para los modelos WSA-ENLIL y los mapas tomográficos por IPS. Agradecemos a la red e-callisto por los datos proporcionados de espectros electromagnéticos dinámicos de la red internacional de registro de eventos de radio solares.

Datos

Imágenes de coronógrafo, flujo de rayos X y modelo WSA-ENLIL:

<http://www.swpc.noaa.gov/products>

<http://iswa.ccmc.gsfc.nasa.gov/IswaSystemWebApp/>

Imágenes de coronógrafo:

<http://sohowww.nascom.nasa.gov/data/>

Imágenes del disco solar y de la fulguración:

<http://www.solarmonitor.org/>

Detección y caracterización de EMCs:

<http://www.sidc.oma.be/cactus/out/latestCMEs.html>

<http://spaceweather.gmu.edu/seeds/>

ISES:

<http://www.spaceweather.org/>

International Network of Solar Radio Spectrometers (e-callisto):

<http://www.e-callisto.org/>

German Research Center For Geosciences Postdam:

<http://www.gfz-potsdam.de/en/sektion/erdmagnetfeld/daten-dienste/kp-index/>

Data Analysis Center for Geomagnetism and Space Magnetism, Kyoto University:

<http://wdc.kugi.kyoto-u.ac.jp/index.html>

UNAVCO:

<http://www.unavco.org>

SSN:

<http://www.sismologico.unam.mx/>

SOHO Spacecraft NASA:

<http://sohowww.nascom.nasa.gov/>

SDO Spacecraft NASA:

<http://sdo.gsfc.nasa.gov/>

Space Weather Prediction Center NOAA:

<http://www.swpc.noaa.gov>

GOES Spacecraft NOAA:

<http://www.ngdc.noaa.gov/stp/satellite/goes/index.html>

ACE Spacecraft NOAA

<http://www.srl.caltech.edu/ACE/ASC/index.html>